

Physique des Particules et Physique Nucléaire

PHYS-F305

Année 2022-2023

Première partie - L. Favart

VIII - Interactions fondamentales

Contenu Chapitre VIII

VIII. Interactions fondamentales

1. Théorie quantique des perturbations
 - 1.a Propagateurs bosoniques
2. Electrodynamique quantique (QED)
3. Chromodynamique quantique (QCD)
 - 3.a Le confinement des quarks
 - 3.b La charge électrique des quarks
 - 3.c La structure du proton
4. Interactions faibles
5. Unification des interactions
6. Chiralité, hélicité et parité
7. Symétries CP et CPT
8. Oscillations des K^0 et anti- K^0

1. Théorie quantique des perturbations

Comment formaliser les interactions ?

approche quantique non-relativiste

Une interaction entre particules est comprise comme le passage d'un état initial, Ψ_i , vers un état final, Ψ_f , à un temps $t = 0$ et caractérisée par une **probabilité de transition**.

Ψ_i , un état stationnaire d'énergie E (pour tout $t < 0$)

$$\Psi_i = \Phi_m(x) e^{-iE_m t / \hbar} \quad \text{factorisation de la dépendance temporelle}$$

$\Phi_m(x)$ sont les fonctions propres de H_0

$$\mathcal{H}_0 \Phi_m = E_m \Phi_m$$

Transition vers un état final est causé par un potentiel, U , lié à une énergie potentielle V par :

$$V = g_0 U \quad \begin{array}{l} \text{effectif pour } t \geq 0 \\ g_0 = \text{couplage de } \Psi_i \text{ au potentiel } U \end{array}$$

Pour $t \geq 0$

$$\Psi(t) = \sum_{n=0}^{\infty} c_n(t) \Phi_n e^{-iE_n t/\hbar} \quad \text{superpositions des états possibles}$$

$c_n(t)$ donnent l'amplitude de probabilité de trouver le système dans un état Φ_n

- à $t = 0$, $c_m(0) = 1$ et $c_n(0) = 0 \forall n \neq m$
- à $t \geq 0$, Ψ satisfait :

$$\mathcal{H}\Psi = (\mathcal{H}_0 + V)\Psi = i\hbar \frac{\partial \Psi}{\partial t}$$

en dérivant les deux termes de Ψ :

$$i\hbar \frac{\partial \Psi}{\partial t} = i\hbar \sum_{n=0}^{\infty} \left(\frac{d}{dt} c_n(t) \right) \Phi_n e^{-iE_n t/\hbar} + i\hbar \sum_{n=0}^{\infty} \frac{(-iE_n)}{\hbar} c_n(t) \Phi_n e^{-iE_n t/\hbar}$$

d'autre part :

$$\begin{aligned} i\hbar \frac{\partial \Psi}{\partial t} &= \underbrace{\sum_{n=0}^{\infty} E_n c_n(t) \Phi_n e^{-iE_n t/\hbar}}_{H_0 \Psi} + \underbrace{\sum_{n=0}^{\infty} V c_n(t) \Phi_n e^{-iE_n t/\hbar}}_{V \Psi} \\ &= i\hbar \sum_{n=0}^{\infty} \frac{d}{dt} c_n(t) \Phi_n e^{-iE_n t/\hbar} + i\hbar \sum_{n=0}^{\infty} \frac{(-iE_n)}{\hbar} c_n(t) \Phi_n e^{-iE_n t/\hbar} \end{aligned}$$

d'autre part :

$$\begin{aligned} & \underbrace{\sum_{n=0}^{\infty} E_n c_n(t) \Phi_n e^{-iE_n t/\hbar}}_{H_0 \Psi} + \underbrace{\sum_{n=0}^{\infty} V c_n(t) \Phi_n e^{-iE_n t/\hbar}}_{V \Psi} \\ &= i\hbar \sum_{n=0}^{\infty} \frac{d}{dt} c_n(t) \Phi_n e^{-iE_n t/\hbar} + i\hbar \sum_{n=0}^{\infty} \frac{(-iE_n)}{\hbar} c_n(t) \Phi_n e^{-iE_n t/\hbar} \end{aligned}$$

en multipliant par Ψ^* et intégrant sur d^3x , et sachant que :

$$\int \Phi_k^* \Phi_n d^3x = 0 \quad \forall k \neq n \quad \text{orthogonales} \quad \text{et} \quad \int \Phi_k^* \Phi_k d^3x = 1 \quad \text{normalisées}$$

$$\Rightarrow i\hbar \frac{d}{dt} c_k(t) = \sum_{n=0}^{\infty} c_n(t) \mathcal{M}_{nk} e^{-iE_n t/\hbar}$$

$$\text{où : } \mathcal{M}_{nk} = \int \Phi_k^* V \Phi_n d^3x$$

l'élément de matrice \mathcal{M}_{nk} est la probabilité de transition de l'état n vers l'état k

En théorie des perturbations, on suppose que l'interaction est de faible intensité, et que l'on peut négliger la probabilité d'avoir deux transitions. Soit :

$$c_m(t) \simeq 1 \quad \text{et} \quad c_n(t) \simeq 0 \quad \forall n \neq m$$

$$\Rightarrow \sum_{n=0}^{\infty} c_n(t) \mathcal{M}_{nk} \simeq c_m(t) \mathcal{M}_{mk}$$

En intégrant sur le temps :

$$c_k(t) = \frac{1}{i\hbar} \int_0^t \mathcal{M}_{mk} e^{-i(E_m - E_k)t'/\hbar} dt' = \mathcal{M}_{mk} \frac{e^{-i(E_m - E_k)t/\hbar} - 1}{E_m - E_k}$$

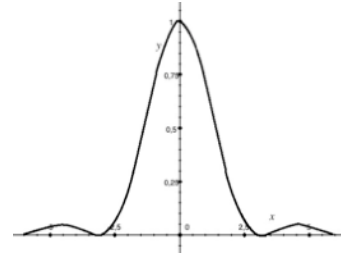
En général, l'état final correspond à une superposition d'un très grand nombre d'états finals (répartition d'énergie entre les différentes particules de l'état final). On passe donc d'une somme à une intégrale sur d'énergie (multipliant par dN/dE qui est la densité d'états par unité d'énergie).

$$\underbrace{W_{m \rightarrow k}} = \frac{1}{t} \sum_k |c_k(t)|^2 \quad \rightarrow \quad \frac{1}{t} \int_{E_{min}}^{E_{max}} |c_k(t)|^2 \underbrace{\frac{dN}{dE}} dE$$

probabilité de transition (par unité de temps)

densité d'états par
unité d'énergie

$$\Rightarrow W_{m \rightarrow k} = \frac{1}{t} \int_{E_{min}}^{E_{max}} \left| \mathcal{M}_{nk} \frac{1 - e^{-i(E_m - E_k)t/\hbar}}{E_m - E_k} \right|^2 \frac{dN}{dE} dE$$



En posant $x = (E_m - E_k)t/2\hbar$:

$$W_{m \rightarrow k} \sim \int_{x_{min}}^{x_{max}} \frac{\sin^2(x)}{x^2} dx \simeq \int_{-\infty}^{\infty} \frac{\sin^2(x)}{x^2} dx = \pi$$

$$\Rightarrow W_{m \rightarrow k} = \frac{2}{\hbar} |\mathcal{M}_{km}|^2 \frac{dN}{dE}$$

élément de matrice

où : $\mathcal{M}_{nk} = \int \Phi_k^* V \Phi_n d^3x$

C'est la **seconde règle d'or de Fermi** classique. Elle indique que la probabilité de transition s'exprime comme le produit de l'amplitude de transition au carré, qui dépend du potentiel d'interaction, et d'un terme qui traduit la densité d'états finals possibles, souvent appelé facteur d'**espace de phase**.

1.a Propagateur et transfert d'impulsion

Soit une particule libre (état initial), de charge g_0 , possédant une énergie déterminée, diffusée par un potentiel :

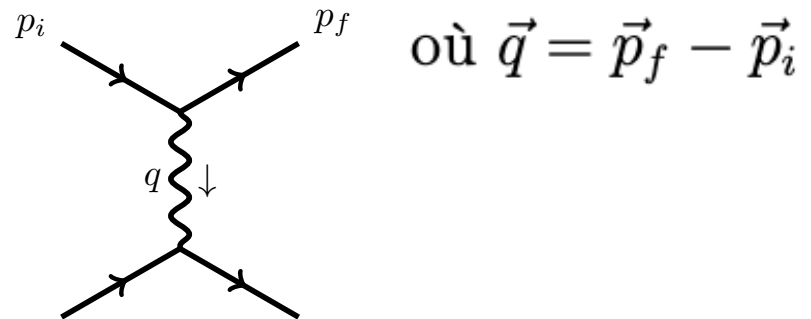
$$V(\vec{r}) = g_0 U(\vec{r})$$

La transition d'un état initial i vers un état final f :

$$\mathcal{M}_{if} = g_0 \int \Phi_i^* U \Phi_f d^3x$$

Les parties spatiales des fonctions d'onde : $\Phi_i = e^{i\vec{p}_i \cdot \vec{r}/\hbar}$ $\Phi_f = e^{i\vec{p}_f \cdot \vec{r}/\hbar}$

$$\Rightarrow \mathcal{M}_{if} = g_0 \int U(\vec{r}) e^{i(\vec{p}_f - \vec{p}_i) \cdot \vec{r}/\hbar} d^3x = g_0 \int U(\vec{r}) e^{i\vec{q} \cdot \vec{r}/\hbar} d^3x$$



Exemple : dans le cas du **potentiel de Yukawa** (i.e. Coulombien pour $m=0$)

$$U(\vec{r}) = U(r) = \frac{g}{4\pi} \frac{1}{r} e^{-r/R} \quad \text{avec} \quad R = \frac{\hbar}{mc}$$

En coordonnées sphériques :

$$\vec{q} \cdot \vec{r} = q r \cos(\theta)$$

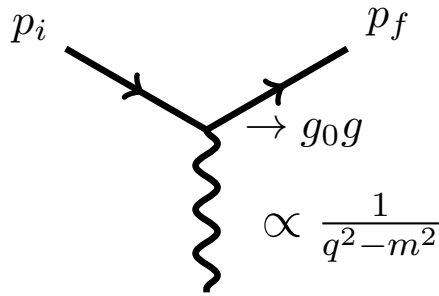
$$d^3x = r^2 \sin(\theta) d\theta d\phi dr$$

$$\int_0^\pi \sin(\theta) e^{i q r \cos(\theta)} d\theta = 2 \frac{\sin(q r)}{q r}$$

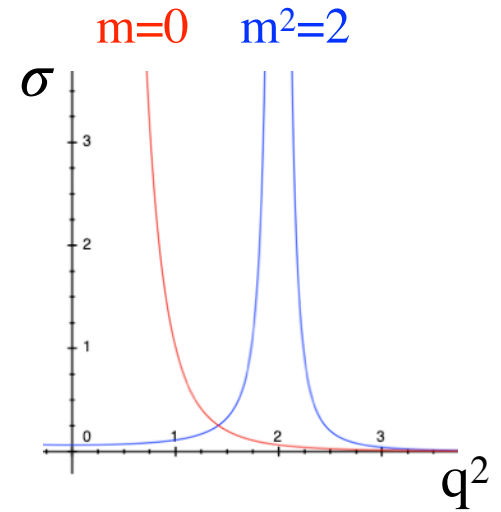
$$\begin{aligned} \Rightarrow \mathcal{M}_{if}(\vec{q}) = \mathcal{M}_{if}(q) &= 4\pi g_0 \int_0^\infty U(r) \frac{\sin(q r)}{q r} r^2 dr \\ &= g_0 g \int_0^\infty e^{-r/R} \frac{e^{i q r} - e^{-i q r}}{2 i q} dr \\ &= \boxed{\frac{g_0 g}{q^2 + m^2}} \quad \text{avec} \quad \hbar = c = 1 \end{aligned}$$

en mécanique quantique relativiste ($Q^2 = -q^2$) et 4-vect:

$$\mathcal{M}_{if}(q) = \frac{g_0 g}{q^2 - m^2}$$



- plus la virtualité est élevée moins l'échange est probable
- le plus probable est p_f proche de p_i
- si masse : pôle pour $q^2 = m^2$ (favorable = résonnance)



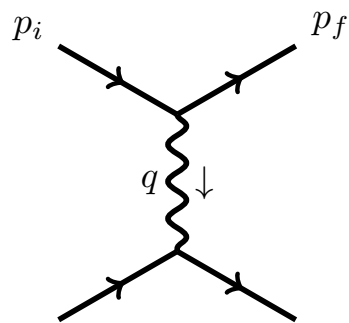
Lien avec la section efficace (σ) : $a + b \rightarrow c + d$

pour 1 seule particule incidente :

le flux : $\Phi = v_i |\Psi|^2$, où v_i est la vitesse de a dans le ref. de b (cible)

la probabilité d'interaction est donnée par : $W = \sigma \Phi$

Remarque cinématique :



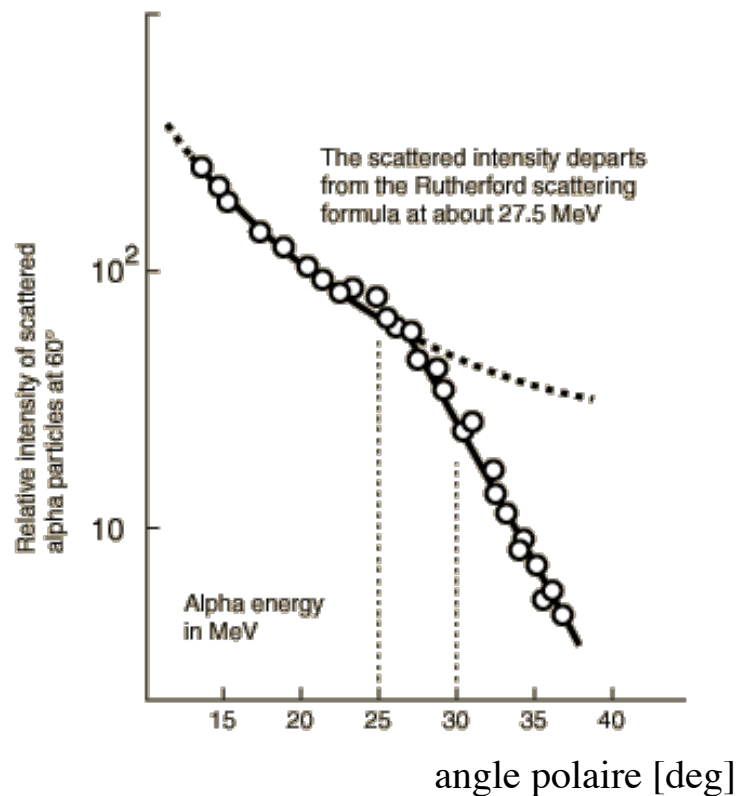
où $\vec{q} = \vec{p}_f - \vec{p}_i$

$$Q^2 = -q^2 = -(p_f - p_i)^2$$

$$\simeq 2 E_i E_f (1 - \cos \theta) = 4 E_i E_f \sin^2 \theta / 2$$

→ la dépendance en l'angle polaire reflète bien la dépendance en Q^2

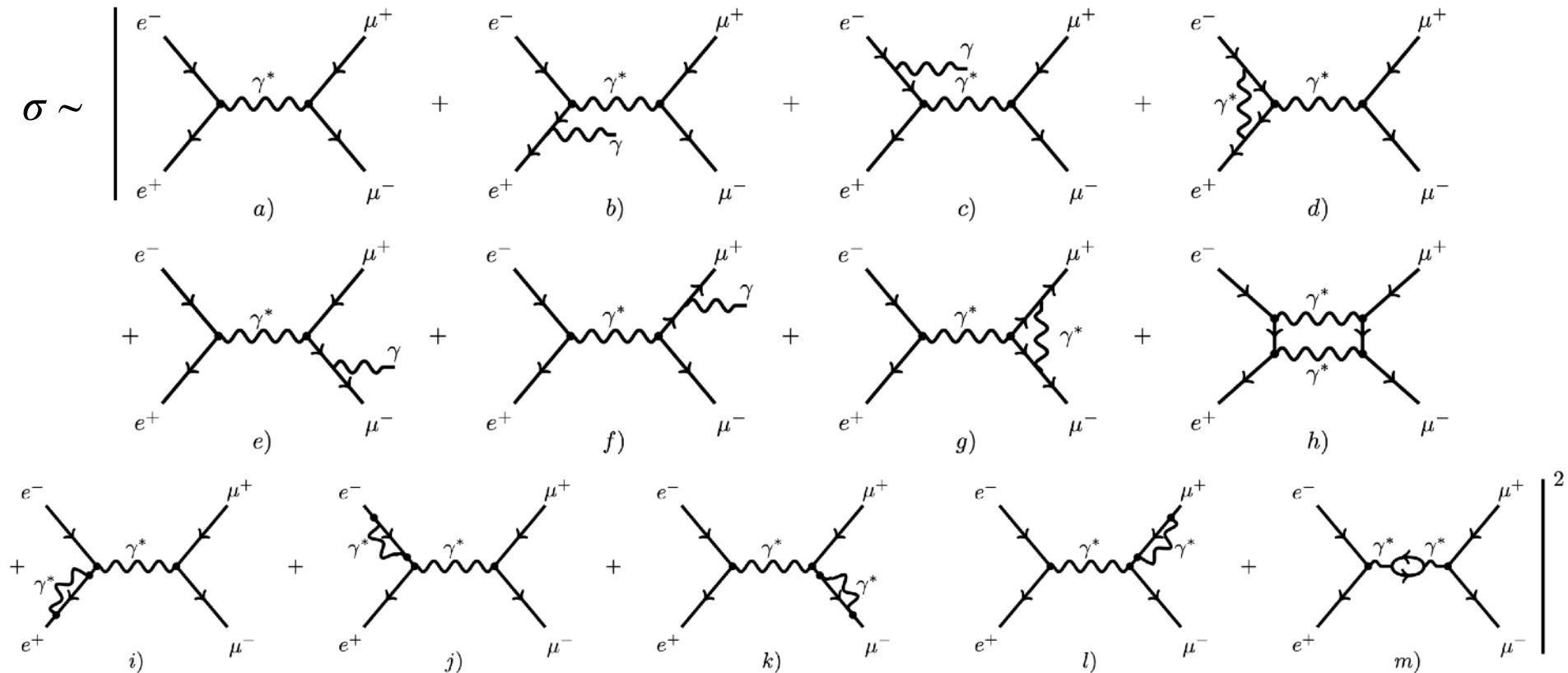
→ augmentation du pouvoir de résolution avec l'angle polaire



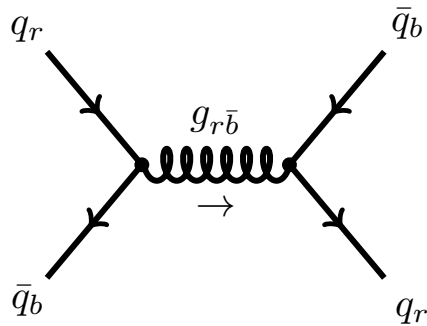
2. Electrodynamique Quantique (QED)

Rq sur les ordres supérieurs : le premier terme (dominant) de l'approximation peut-être corrigé des termes aux ordres plus élevés (correction radiatives réelles et virtuelles). Certaines interférences sont à considérer (a avec d, g, h, i, j, k, l et m).

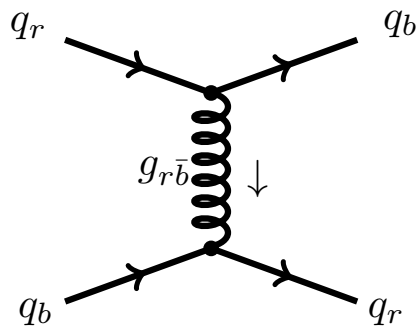
$$\sigma(e^+ + e^- \rightarrow \mu^+ + \mu^-)$$



3. Chromodynamique Quantique (QCD)



$$q + \bar{q} \rightarrow q + \bar{q}$$

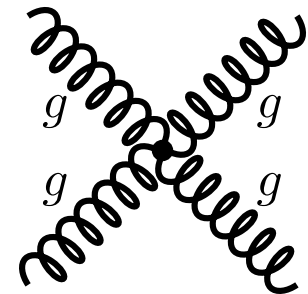
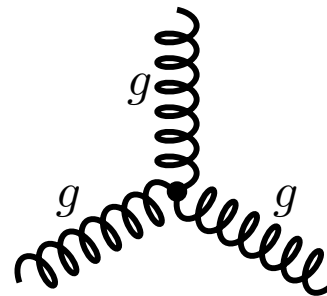


$$q + q \rightarrow q + q$$

$m_g = 0$ couplage à ce qui porte de la couleur

- Le gluon porte une couleur et une anti-couleur
- L'échange est indépendant de la saveur des quarks
- Somme sur tous les états de couleur possibles

similaire à QED **mais** le gluon se couple aussi à lui même car il porte de la couleur :



Rq: la théorie de Yukawa, est une théorie effective qui ne fonctionne que pour des grandes distances (Physique Nucléaire)

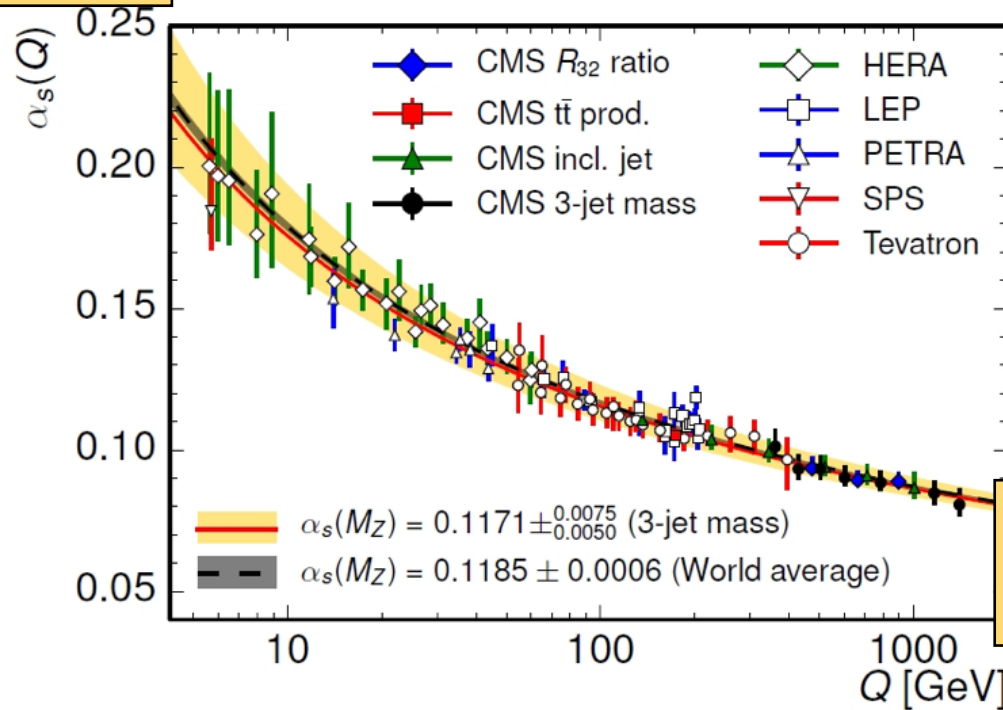
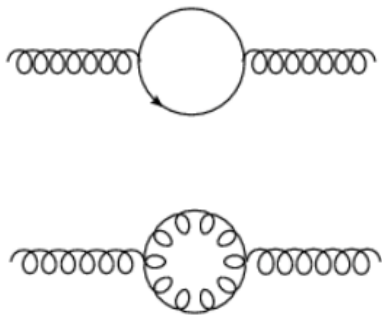
- gluons: 8 (=3x3-1) états de bi-couleur :

$$r\bar{b}, r\bar{v}, b\bar{v}, b\bar{r}, v\bar{r}, v\bar{b}, \frac{r\bar{r} - v\bar{v}}{\sqrt{2}}, \frac{r\bar{r} + v\bar{v} - 2b\bar{b}}{\sqrt{6}}$$

- évolution du couplage : α_s

! si $\alpha_s \neq 1$, calcul perturbatif non pertinent !

Confinement



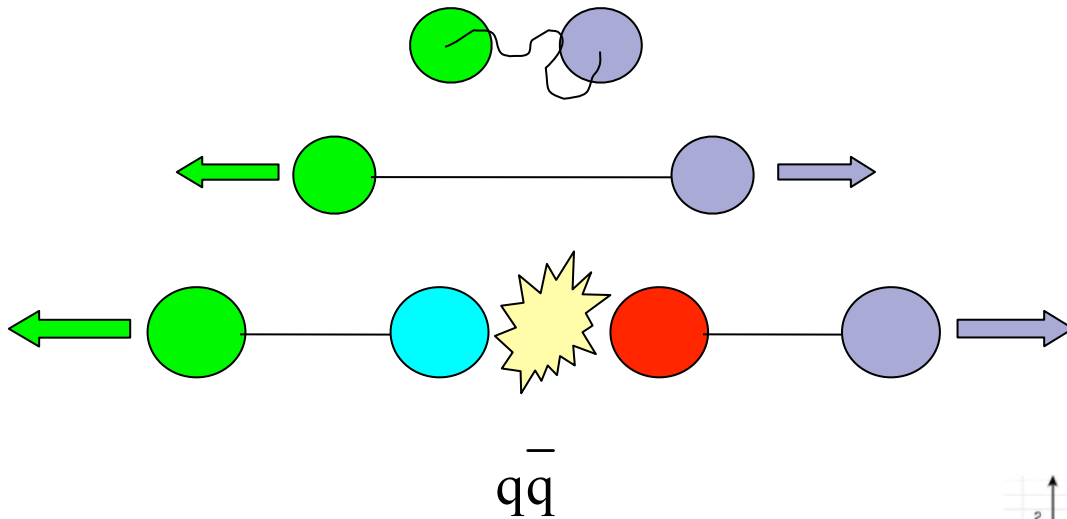
liberté asymptotique

”grandes” distances

”petites” distances



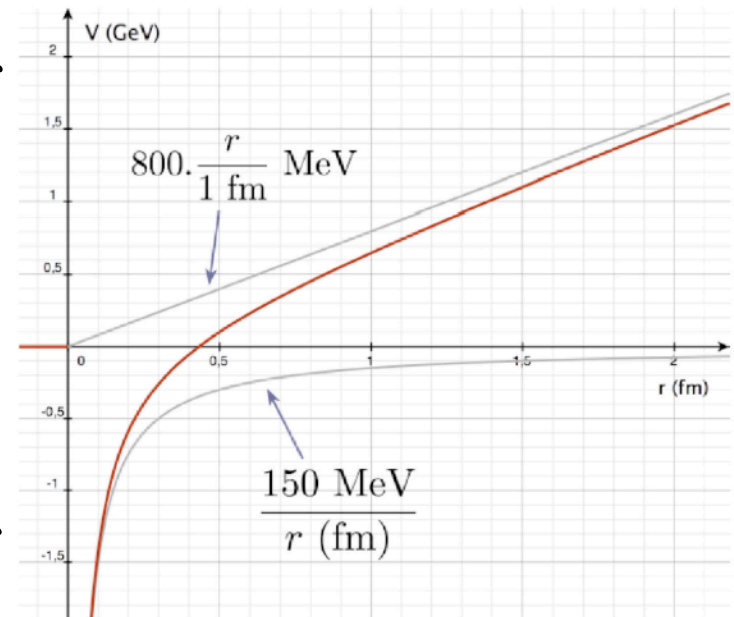
3.a Confinement des quarks



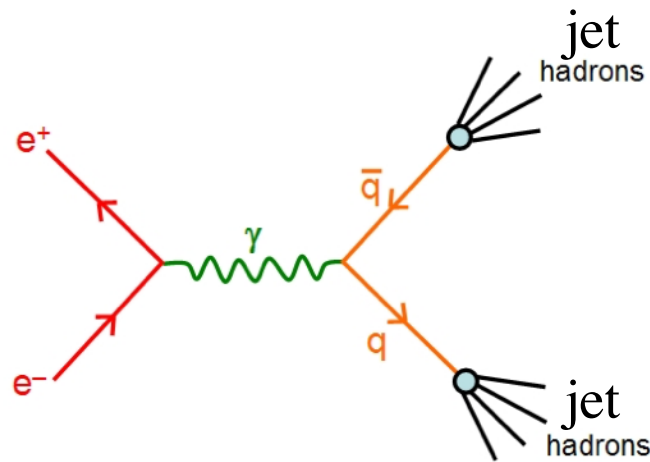
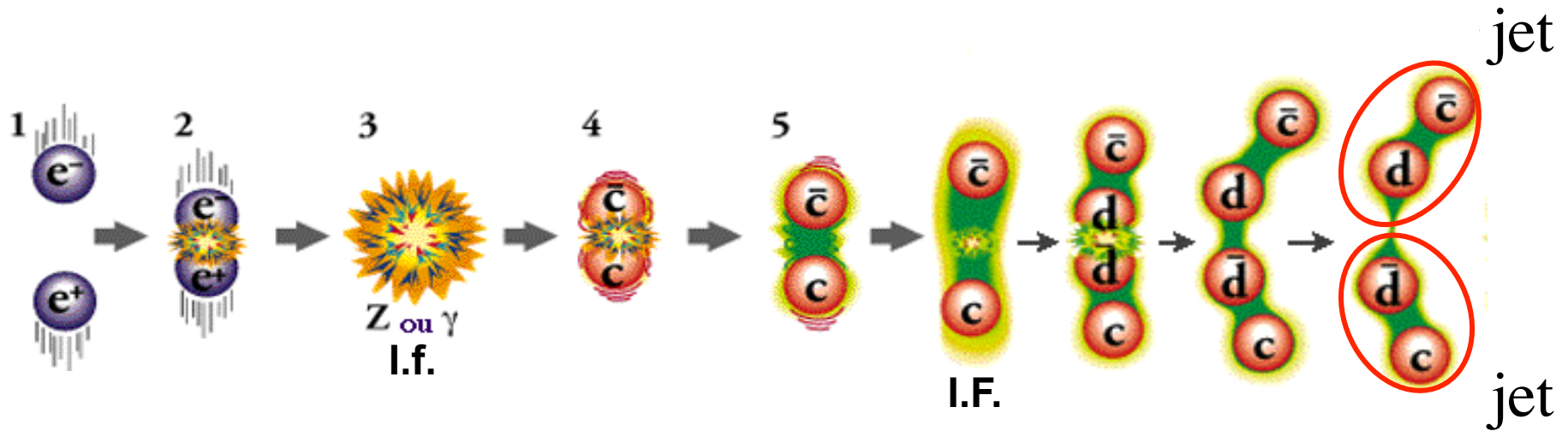
attractif

répulsif

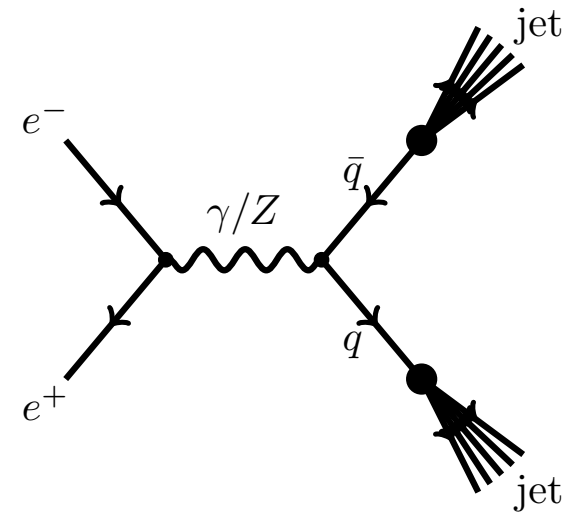
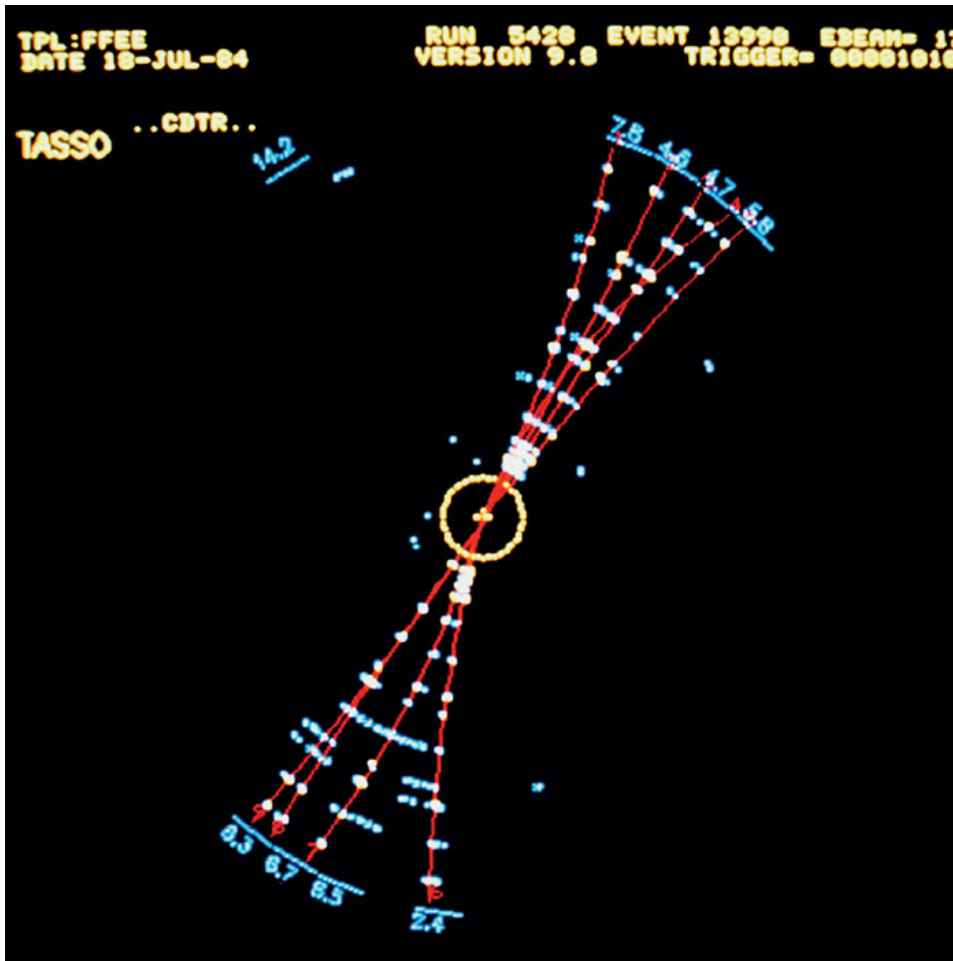
potentiel de QCD

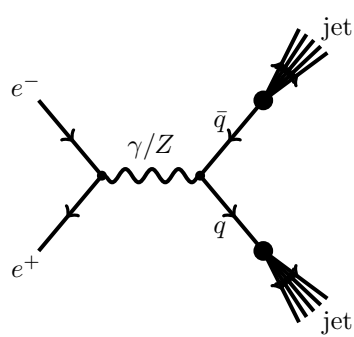


Confinement des quarks

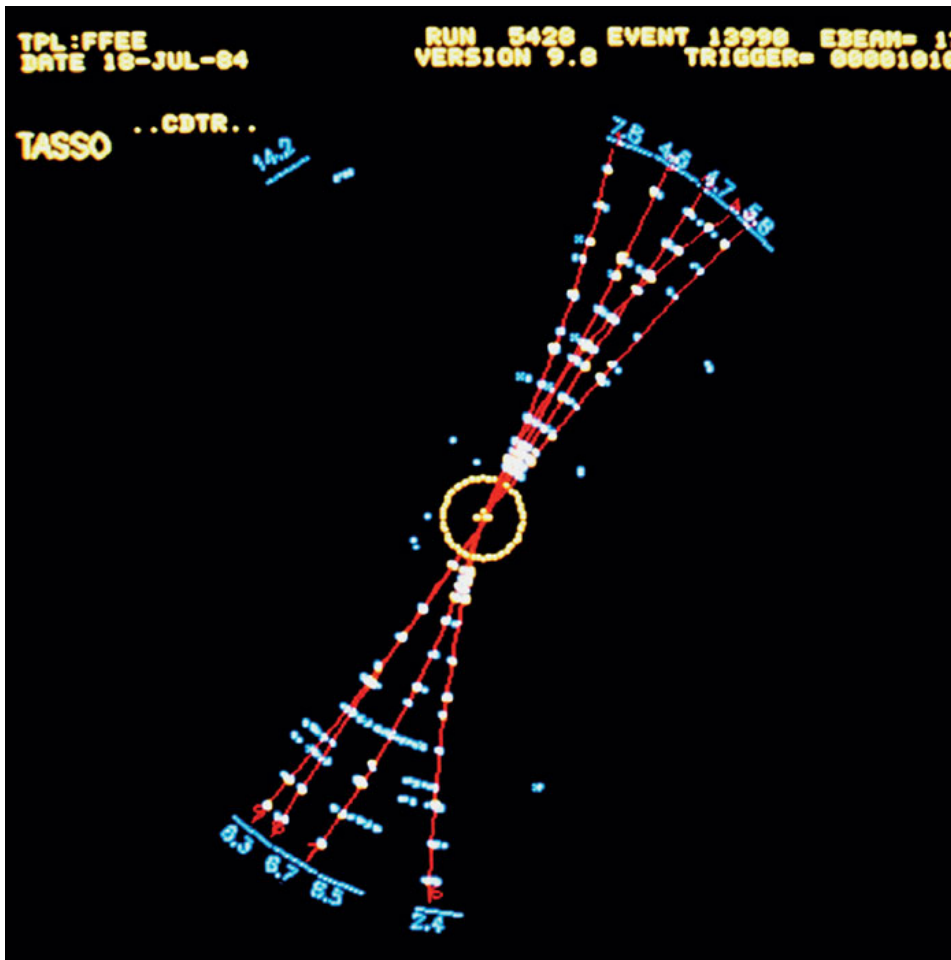
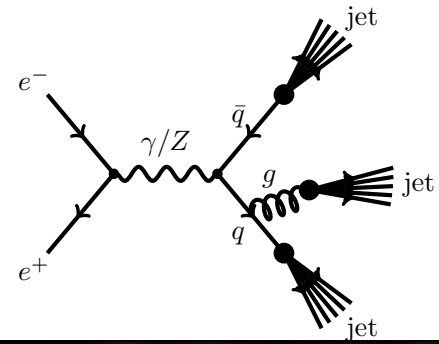


Confinement des quarks : jets



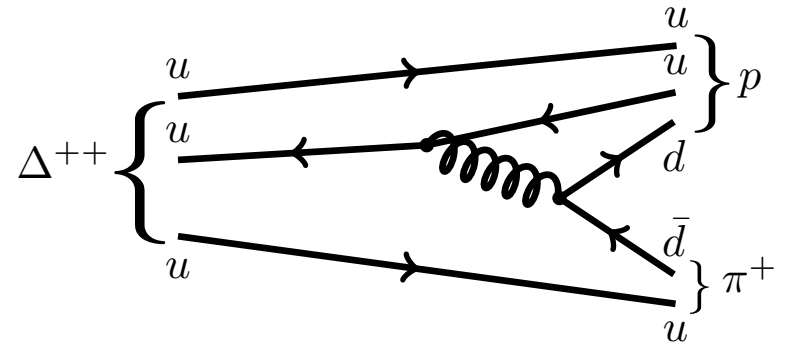
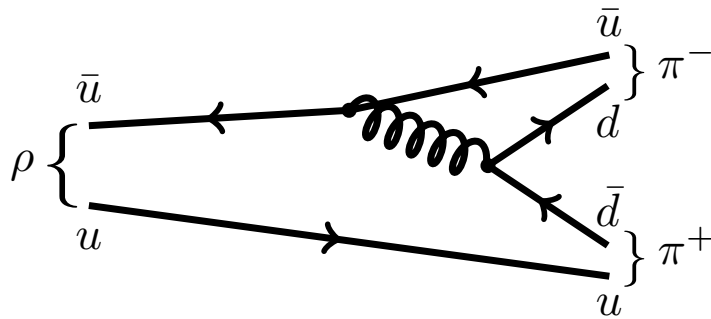


jets



découverte: 1979 sur PETRA (e^+e^-)

Désintégration forte

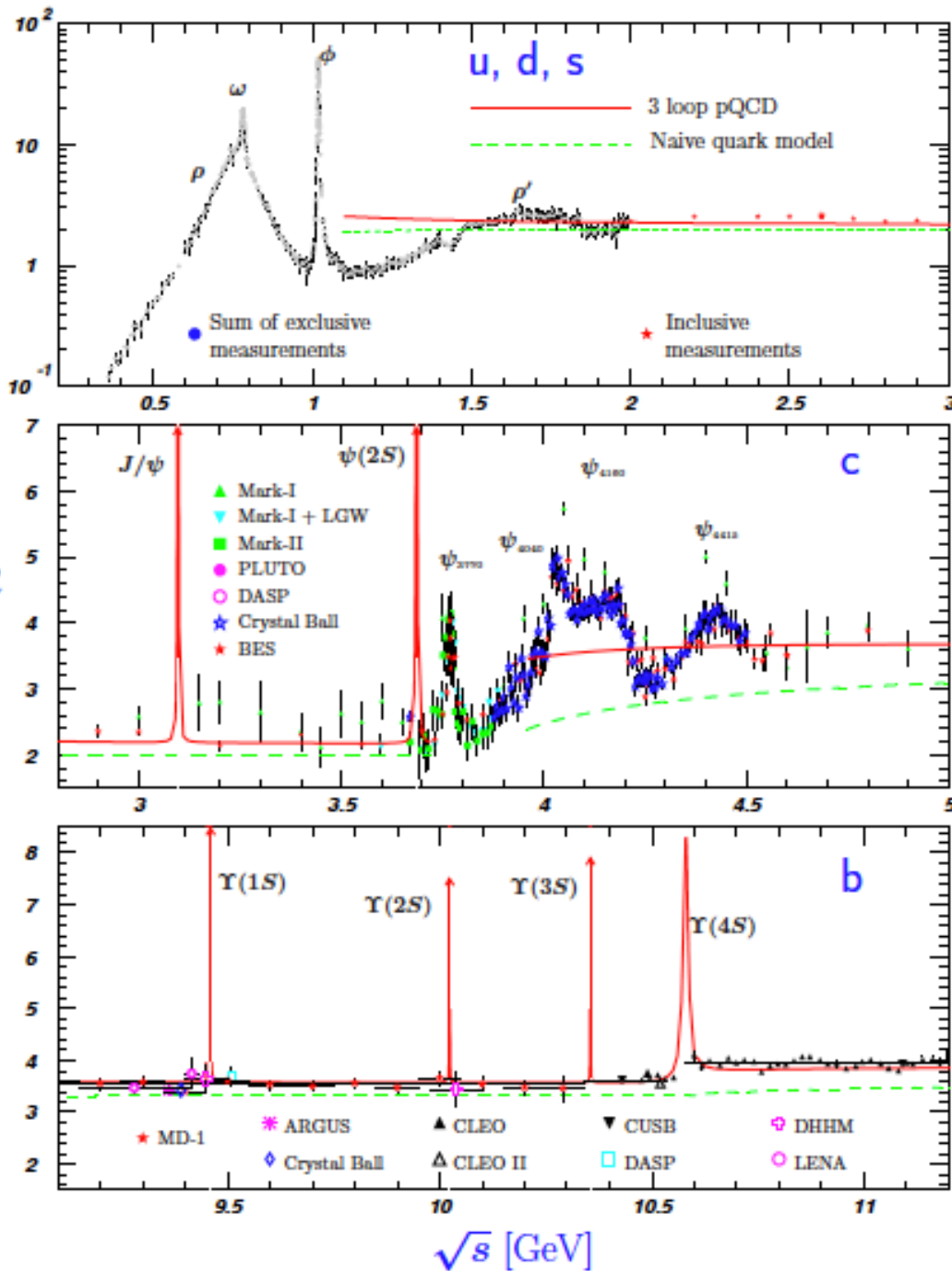


- hadron vers hadrons uniquement
- jamais de changement de saveur



- la plupart des désintégrations fortes sont **non-perturbatives**
→ la représentation en diagramme n'est pas pertinente pour un calcul, mais elle permet de vérifier la conservation des nb quantiques

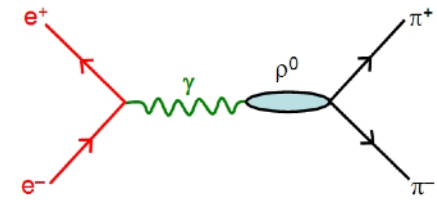
charges des quarks



$$R = \frac{\sigma(e^+e^- \rightarrow X)}{\sigma(e^+e^- \rightarrow \mu^+\mu^-)} \sim \frac{\left| \begin{array}{c} e^- \\ \diagdown \\ \gamma/Z \\ \diagup \\ e^+ \end{array} \begin{array}{c} \bar{q} \\ \diagup \\ q \\ \diagdown \end{array} \right|^2}{\left| \begin{array}{c} e^- \\ \diagdown \\ \gamma/Z \\ \diagup \\ e^+ \end{array} \begin{array}{c} \mu^+ \\ \diagup \\ \mu^- \\ \diagdown \end{array} \right|^2}$$

$$R \simeq \left[\frac{4}{9} + \frac{1}{9} + \frac{1}{9} + \frac{4}{9} + \frac{1}{9} \right] = \frac{33}{9}$$

Le rapport, en dehors des résonances, donne une bonne mesure des charges de quarks

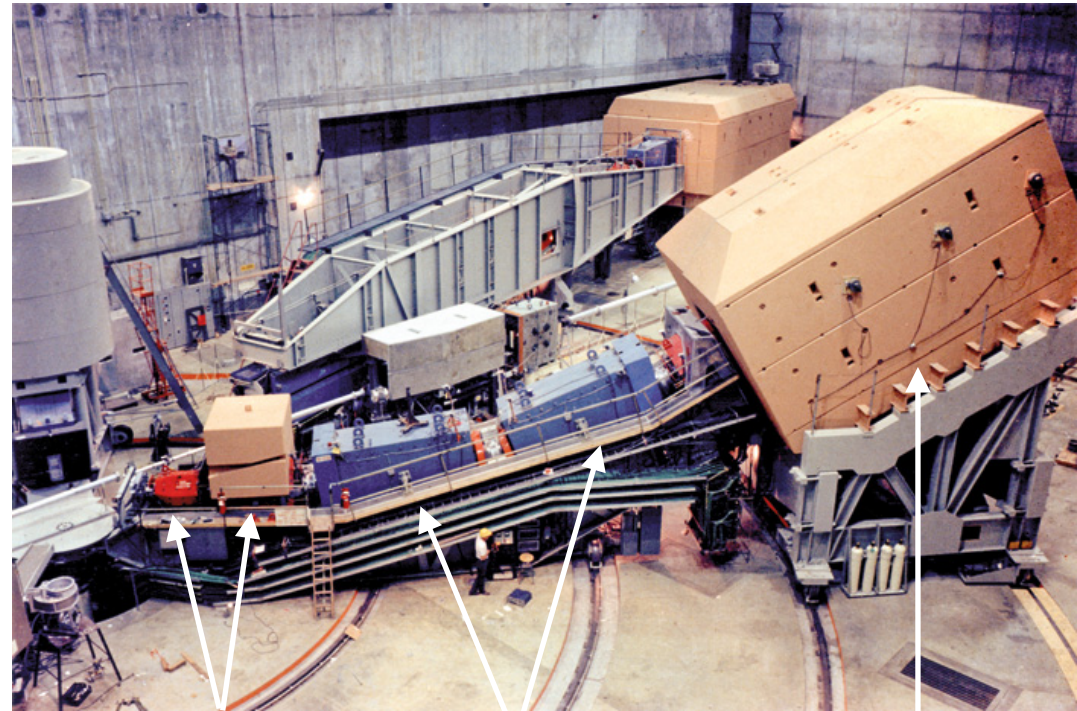
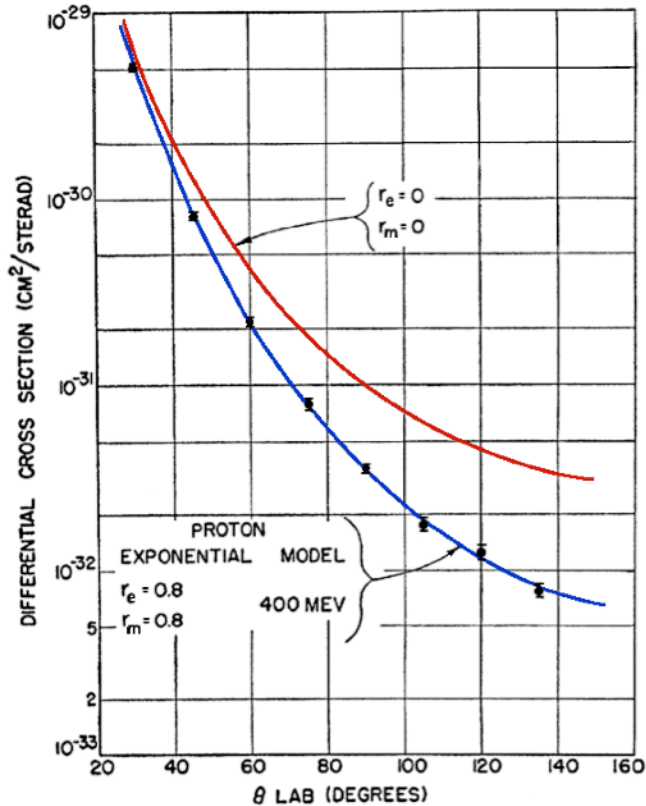


résonances

Le proton : diffusion élastique (1960 – 188 MeV)

diffusion élastique $e+p \rightarrow e+p$

$$\lambda(\text{fm}) = \frac{h}{p} \simeq \frac{hc}{E} = \frac{1}{2\pi} \frac{197 [\text{MeV fm}]}{E [\text{MeV}]}$$



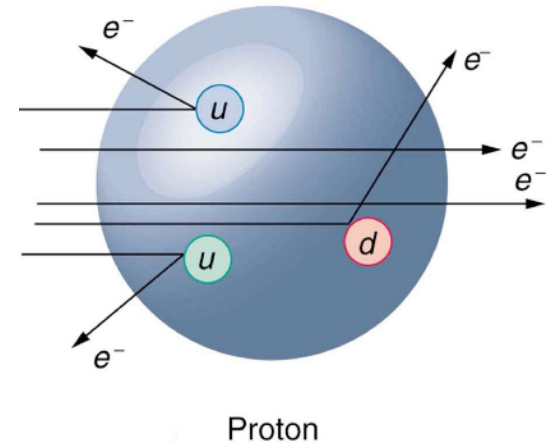
quadripôles dipôles compteur Cherenkov
+ blindage

spectromètre vertical (p)
placé sur des rails (θ)

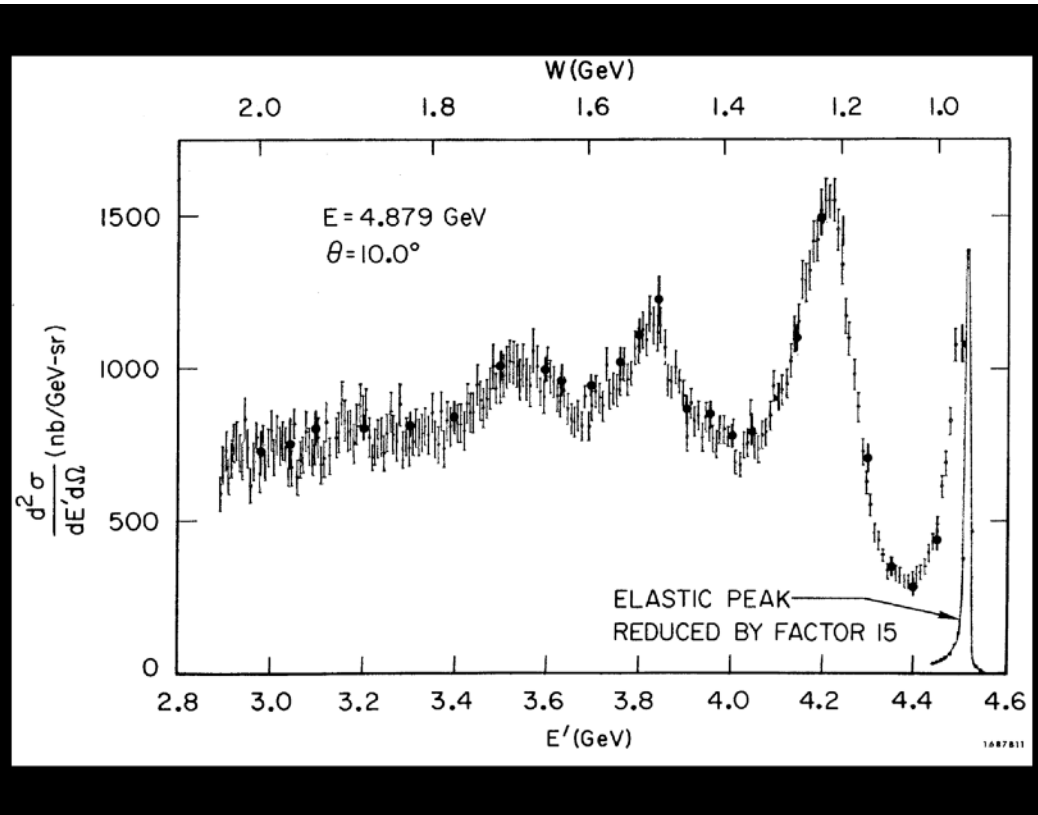
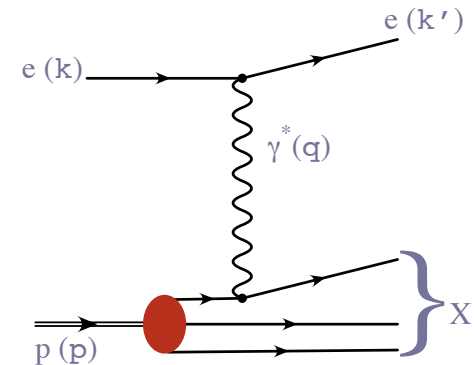
le proton a une taille finie :
 $0.74 \pm 0.24 \text{ fm}$

La diffusion inélastique (1967 – 20 GeV)

diffusion inélastique $e+p \rightarrow e + X$



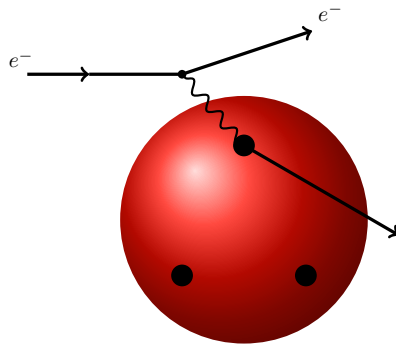
centres de diffusion dans le proton
 → modèle des **partons** (Feynman 1969)



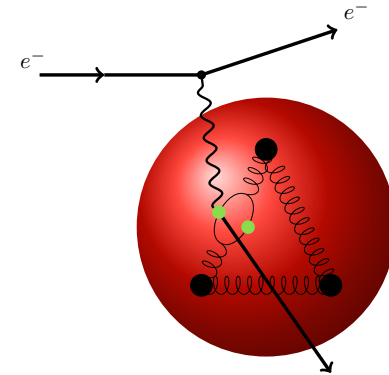
l'identification entre les quarks et les partons
 sera faite seulement ~ 10 ans plus tard

Nobel de Physique en 1990 :
 Taylor, Friedman, Kendall

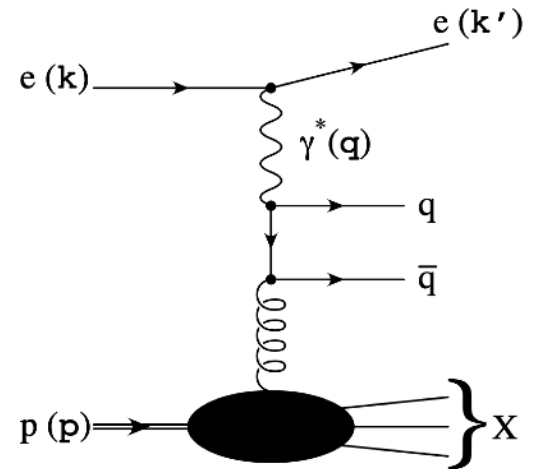
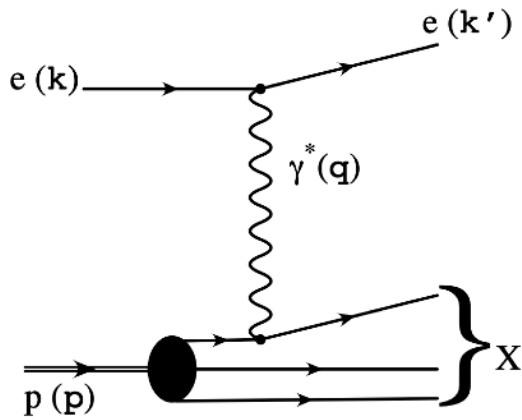
3.c La structure du proton



Quarks de valence

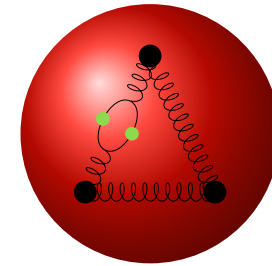
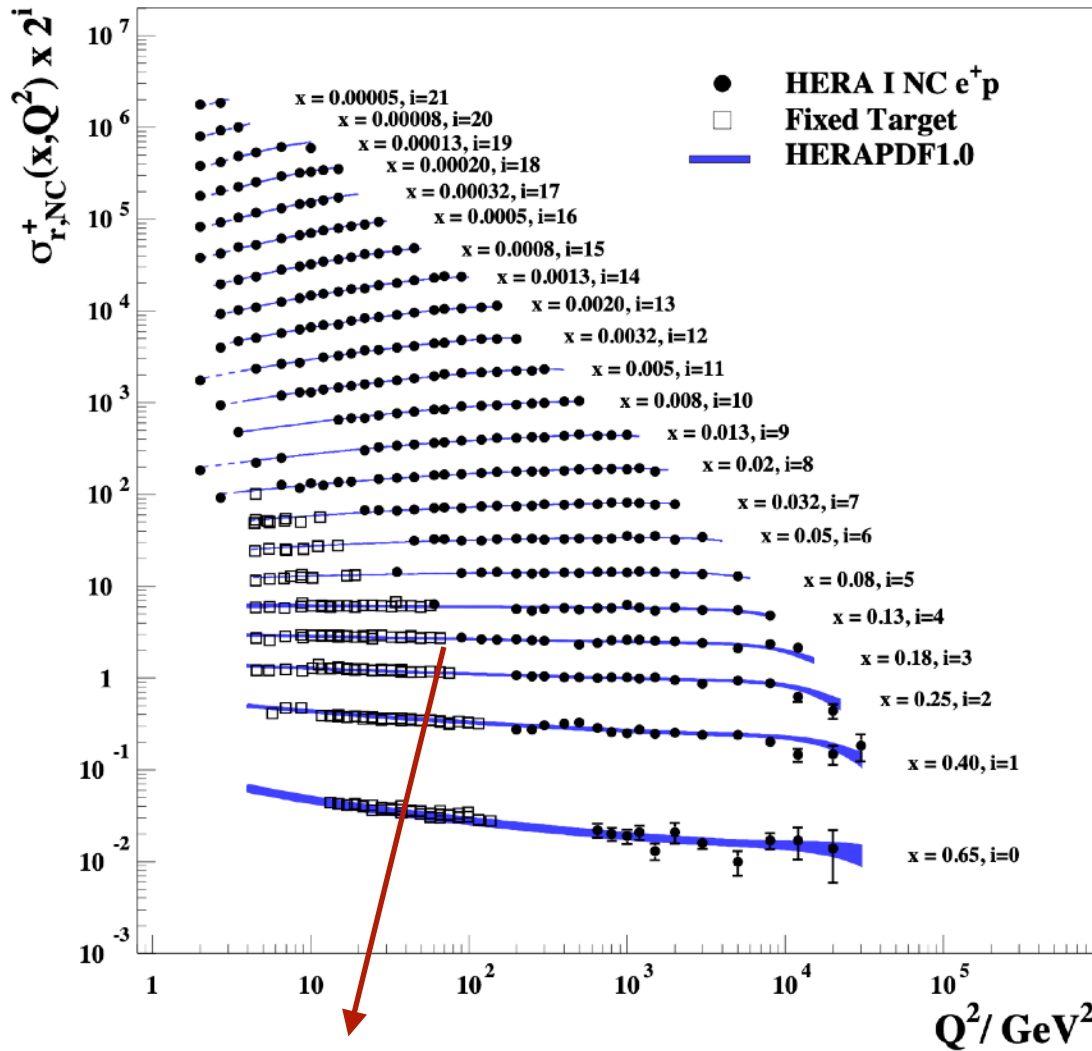


Quarks de la mer



Structure du proton : HERA (1992-2007)

H1 and ZEUS



mesure de la section efficace
 → densité de quarks et gluons

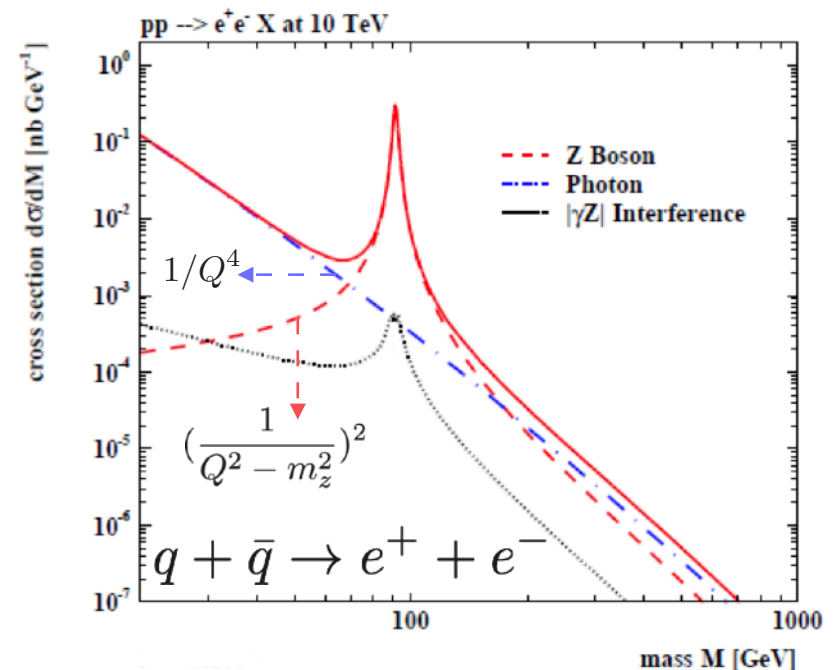
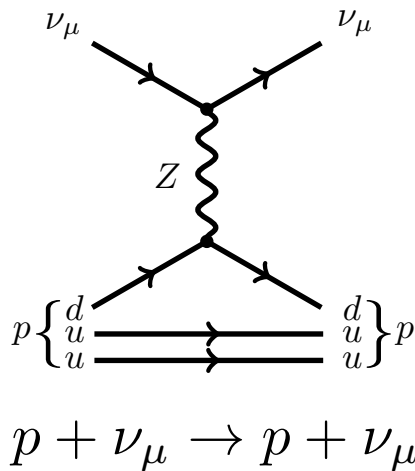
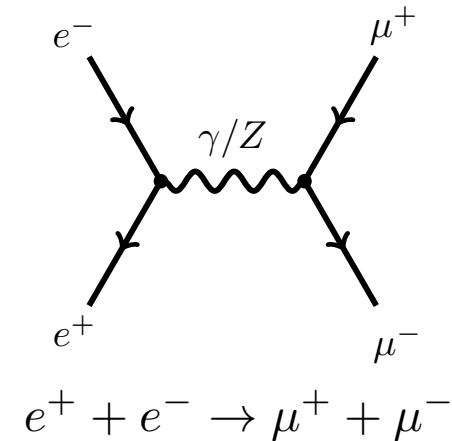
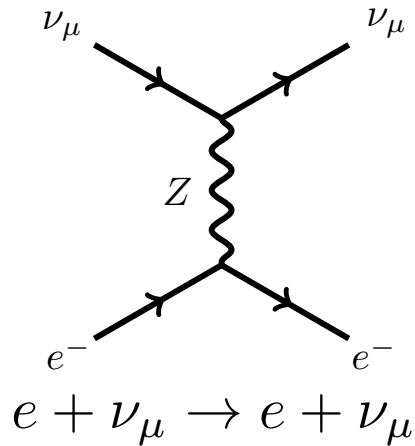
→ le proton est un objet
 dynamique qui contient
 une très grande quantité
 de gluons

invariance d'échelle = sous-structure

Nobel 2004 : D. Gross, H. Politzer , F. Wilczek

4. Interactions faibles

1) courant neutre (Z) : pas de changement de famille ni de charge

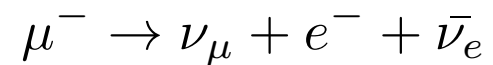
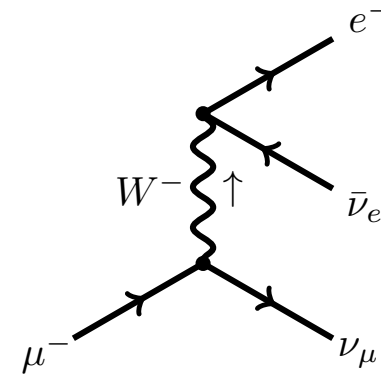
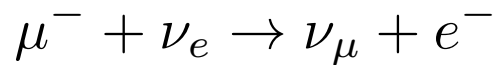
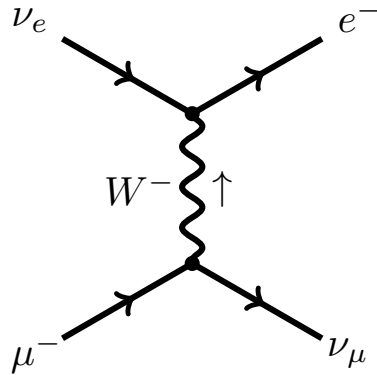


2) courant chargé : chez les leptons

a chaque vertex on reste dans la même famille

511 keV e electron	105.7 MeV μ much	1.777 GeV τ tau
ν_e e neutrino	ν_μ μ neutrino	ν_τ τ neutrino

Red arrows indicate the charge of each lepton is -1.

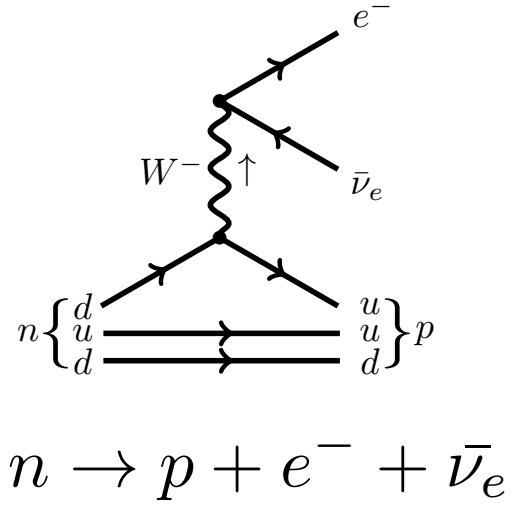
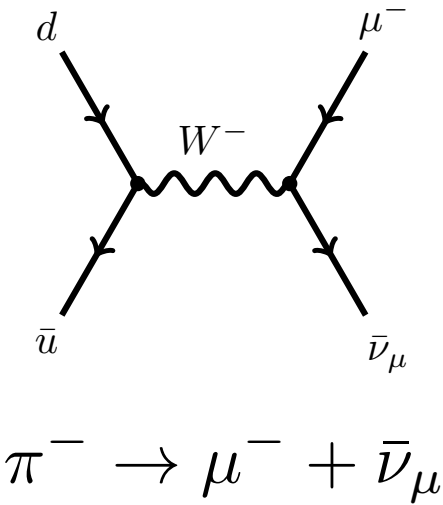


conservation nombres leptoniques \rightarrow pas de changement de famille

- courant chargé (W) : chez les quarks

seul échange qui permet de passer d'une saveur à l'autre

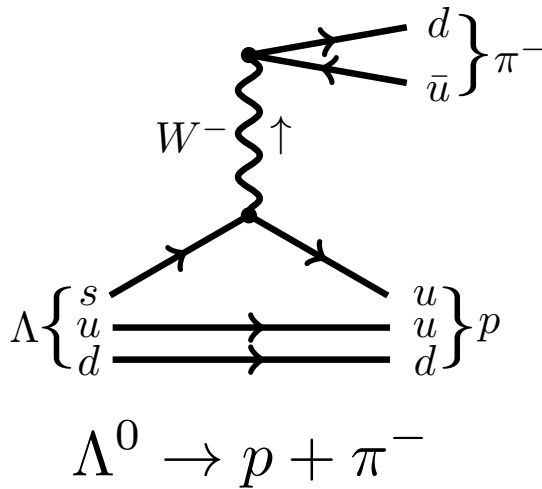
2.3 MeV u up 2/3	1.28 GeV c charme 2/3	173.2 GeV t top 2/3
4.8 MeV d down -1/3	95 MeV s étrange -1/3	4.7 GeV b beauté -1/3



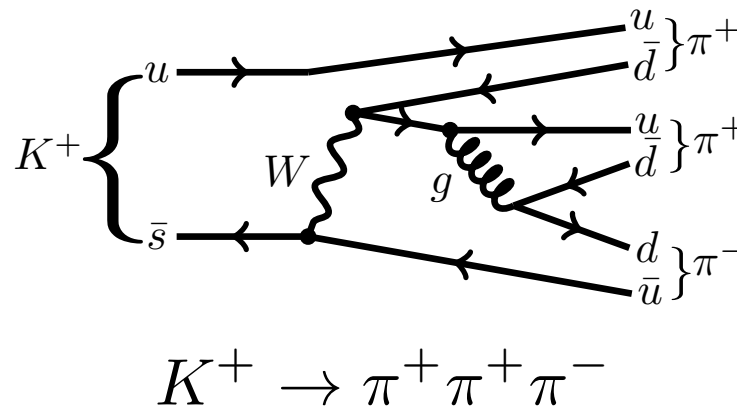
- courant chargé :

aussi transition entre les familles

2.3 MeV <i>u</i> up 2/3	1.28 GeV <i>c</i> charme 2/3	173.2 GeV <i>t</i> top 2/3
4.8 MeV <i>d</i> down -1/3	95 MeV <i>s</i> étrange -1/3	4.7 GeV <i>b</i> beauté -1/3



changement de génération: $s \rightarrow u$



Matrice de Kobayashi-Maskawa

transition entre les familles : le changement de famille est défavorisé

$$\begin{pmatrix} u \\ d \end{pmatrix}, \begin{pmatrix} c \\ s \end{pmatrix} \text{ et } \begin{pmatrix} t \\ b \end{pmatrix}, \text{ états propres de masse}$$

$$\begin{pmatrix} u \\ d' \end{pmatrix}, \begin{pmatrix} c \\ s' \end{pmatrix} \text{ et } \begin{pmatrix} t \\ b' \end{pmatrix}, \text{ états propres de l'interaction faible}$$

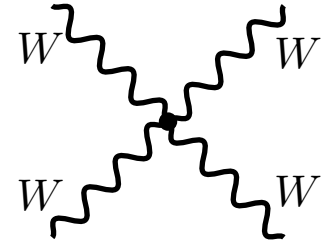
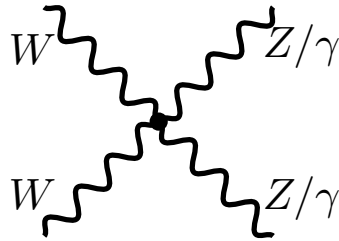
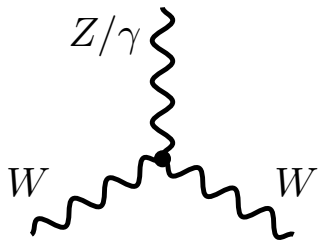
sont des combinaisons linéaires de états propres de masse

$$\begin{pmatrix} d' \\ s' \\ b' \end{pmatrix} = \begin{pmatrix} V_{ud} & V_{us} & V_{ub} \\ V_{cd} & V_{cs} & V_{cb} \\ V_{td} & V_{ts} & V_{tb} \end{pmatrix} \begin{pmatrix} d \\ s \\ b \end{pmatrix} \quad \begin{pmatrix} 0.974 & 0.225 & 0.004 \\ 0.221 & 0.987 & 0.041 \\ 0.008 & 0.039 & 0.999 \end{pmatrix}$$

couplage au vertex devient : $g_{ij} = |V_{ij}| g_W$

Couplages entre bosons

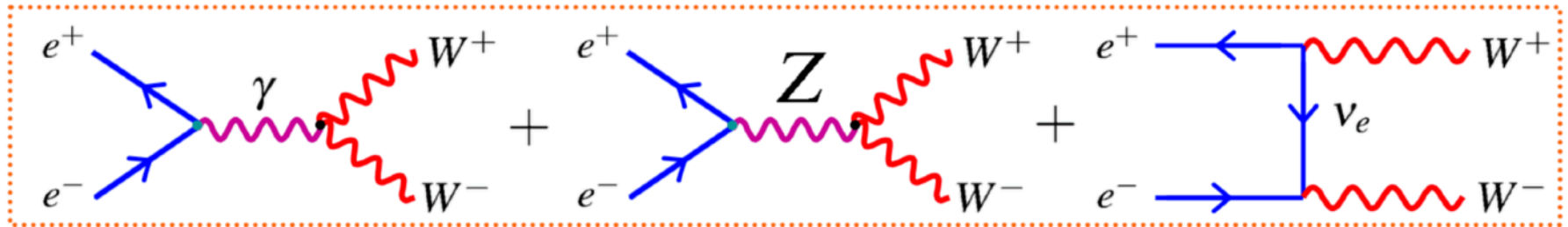
- comme dans QCD, une série de couplage à 3 ou 4 bosons sont permis



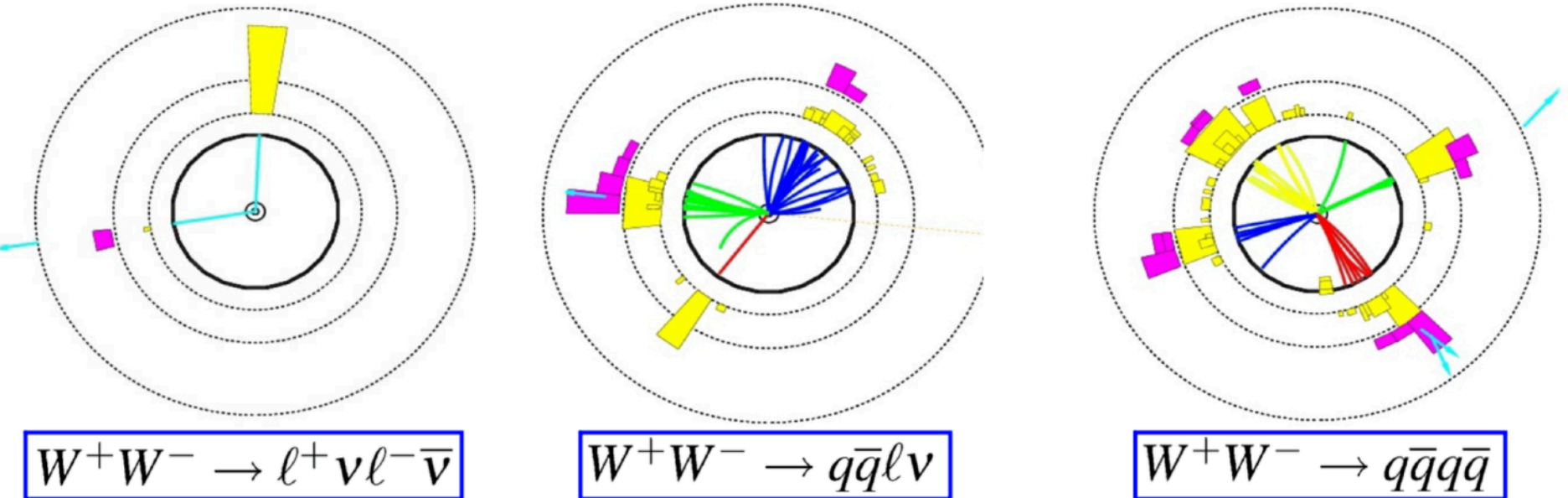
- pas de couplage du photon au Z (pas de charge), ni photon-photon, ni Z-Z

Exemple de mesure de ces couplages en collision e^+e^-

production d'une paire de W :



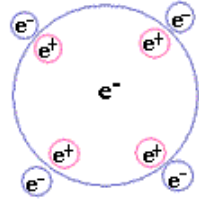
et leur différents modes de désintégration :



5. Unification des interactions

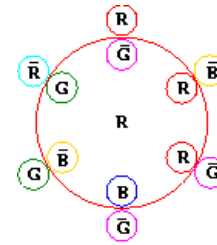
le couplage effectif dépend de l'échelle à laquelle se déroule l'interaction

QED

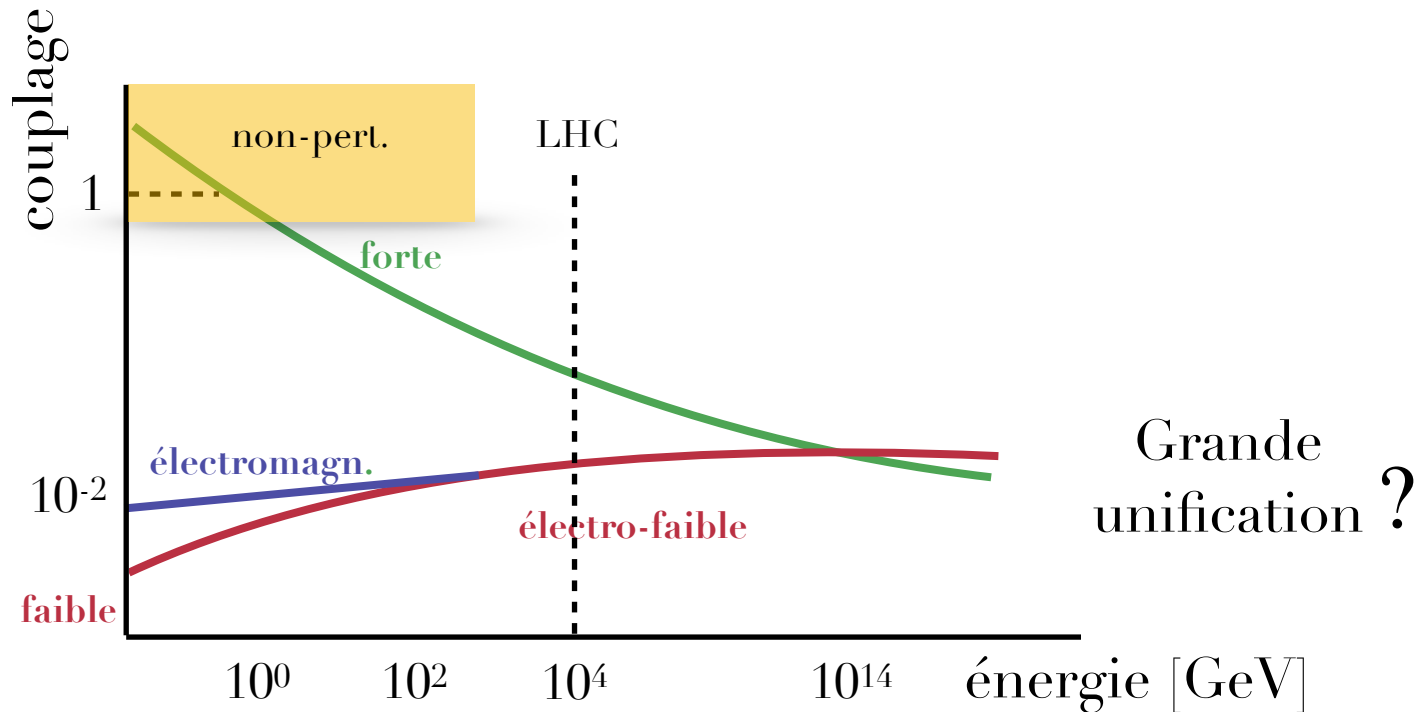


écranage

QCD



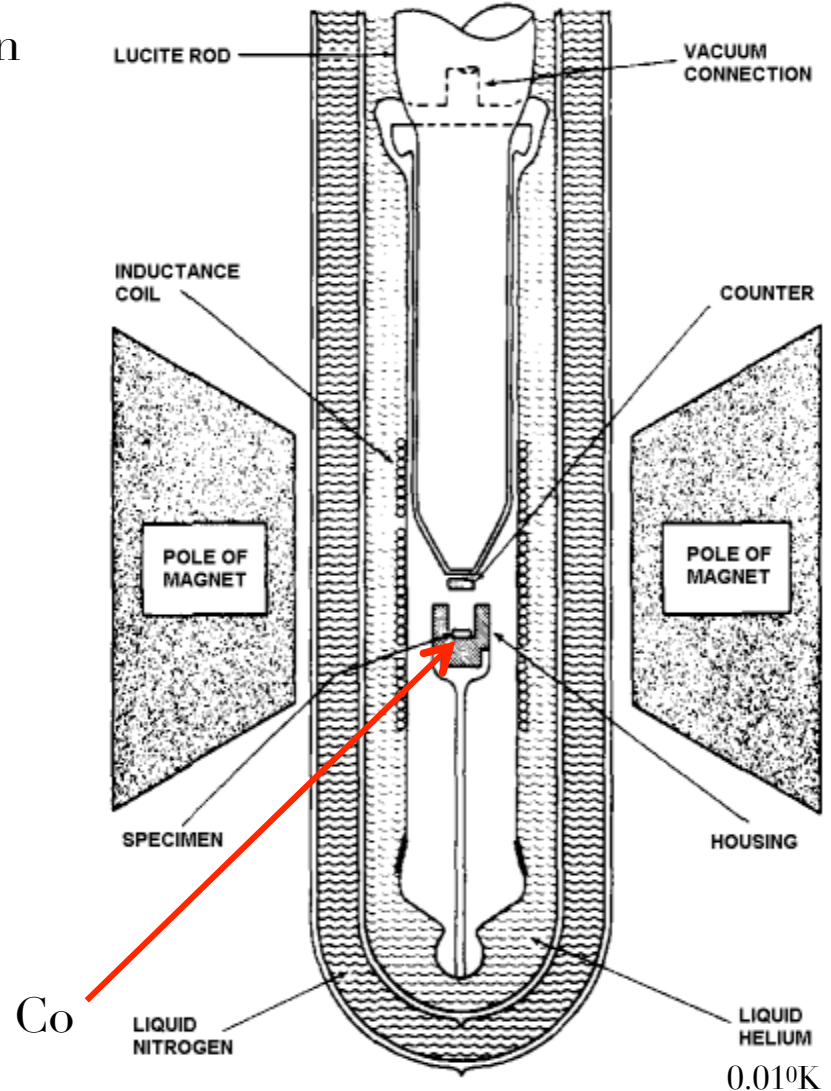
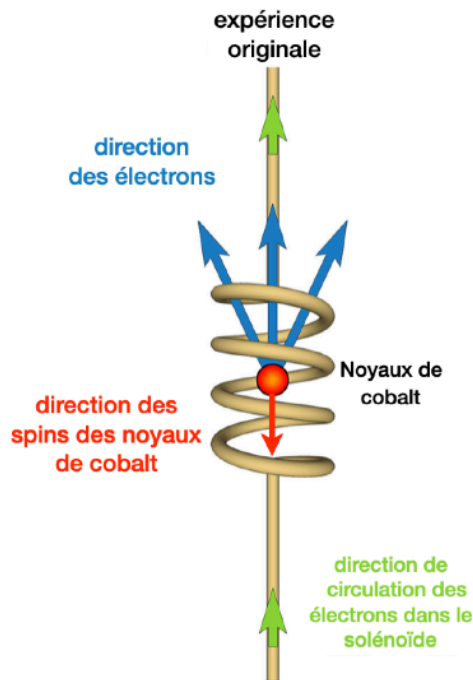
anti-écranage



6. Particules gauches et droites (chiralité)

Expérience de Wu (1957)

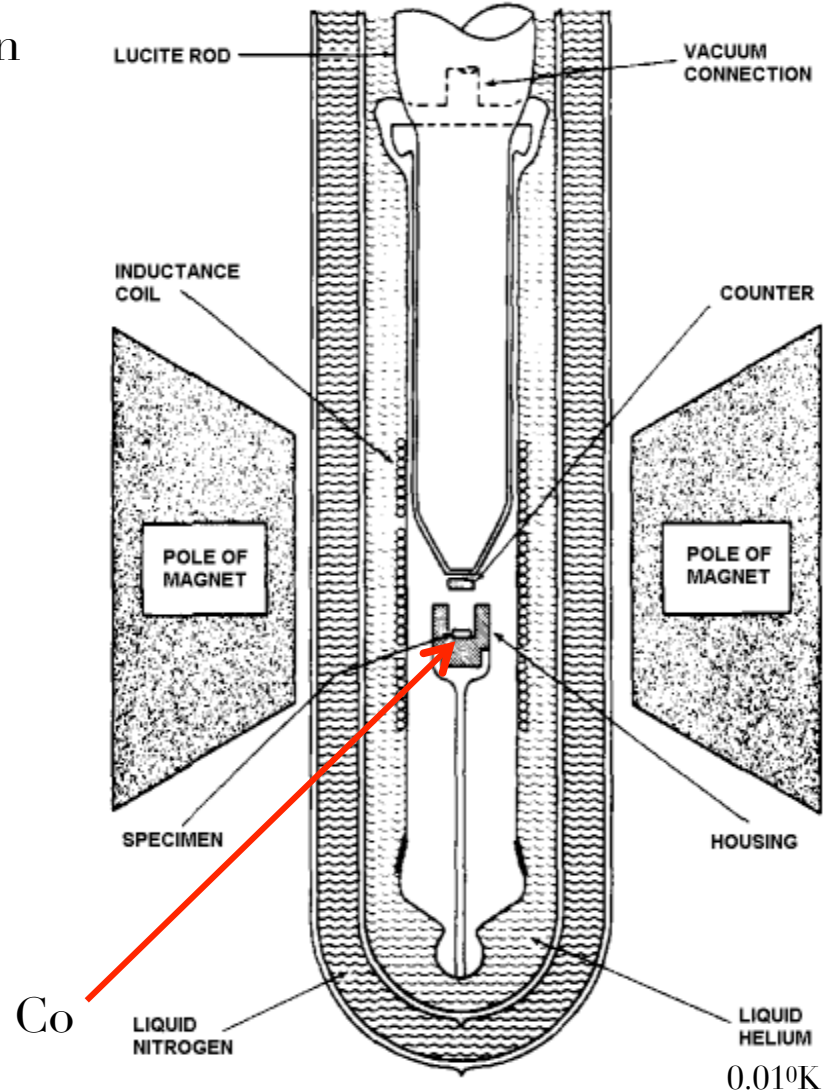
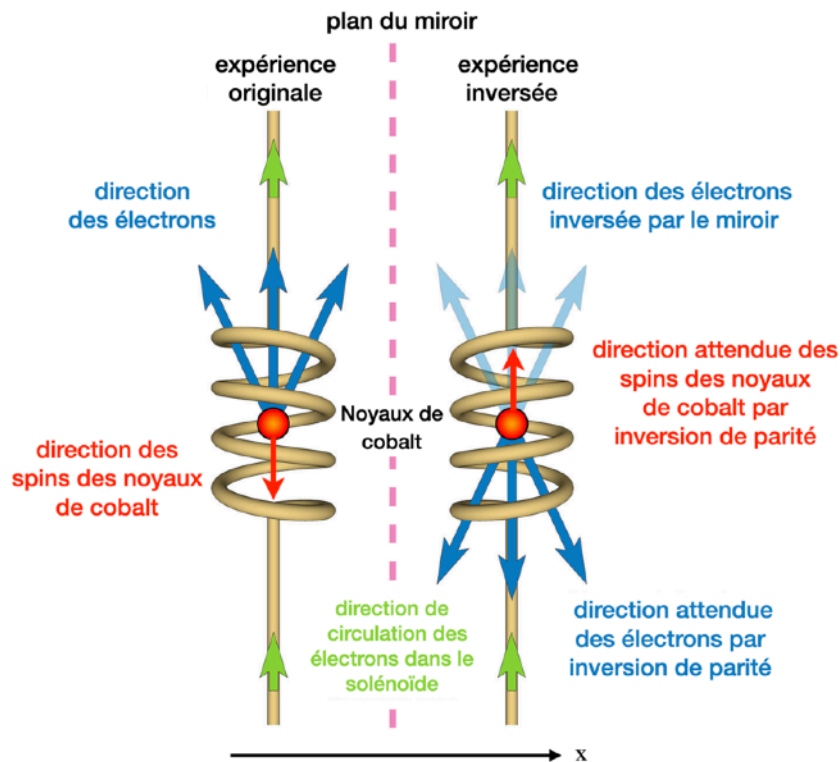
- e^- émis uniquement dans la direction opposé au spin du Co
- la physique n'est pas équivalente dans un miroir (inversion de **Parité**)



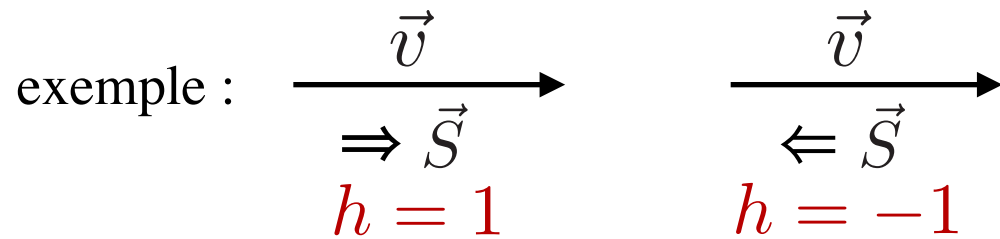
6. Particules gauches et droites (chiralité)

Expérience de Wu (1957)

- e^- émis uniquement dans la direction opposé au spin du Co
- la physique n'est pas équivalente dans un miroir (inversion de **Parité**)



hélicité $h = \frac{\vec{S} \cdot \vec{p}}{|\vec{S}||\vec{p}|}$

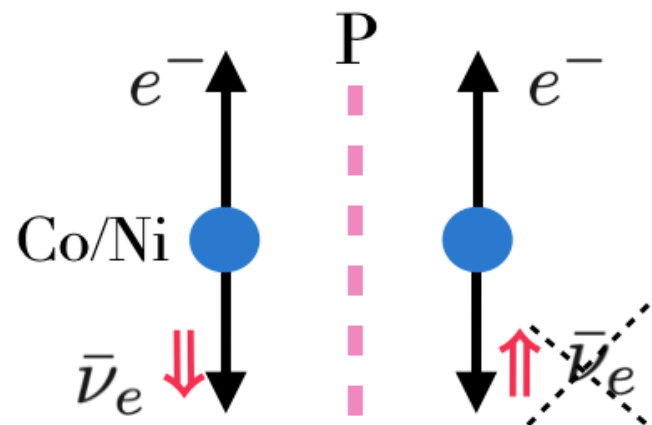


- si masse non nulle, l'hélicité dépend du référentiel
- si masse nulle ($v=c$), l'hélicité est invariante de Lorentz
- l'expérience de Mme Wu montre que **seuls les neutrinos gauches ($h=-1$) existent** - et seuls les anti-neutrinos droits ($h=1$)

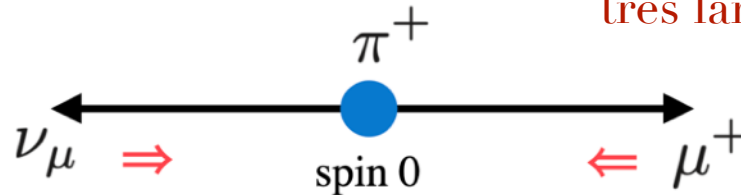
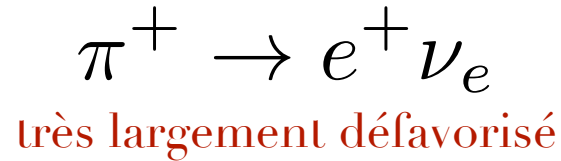
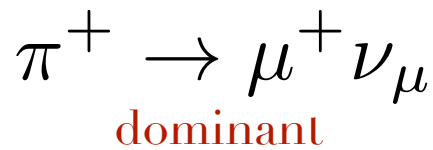
⇒ dans le miroir l'hélicité est inversée ⇒ il faudrait un antineutrino gauche, ce qui n'existe pas !

- confirmé par l'expérience de Goldhaber en 1958 qui mesure l'hélicité des neutrinos

La parité est conservée par les IF et les EM, violée par les If



La désintégration du pion



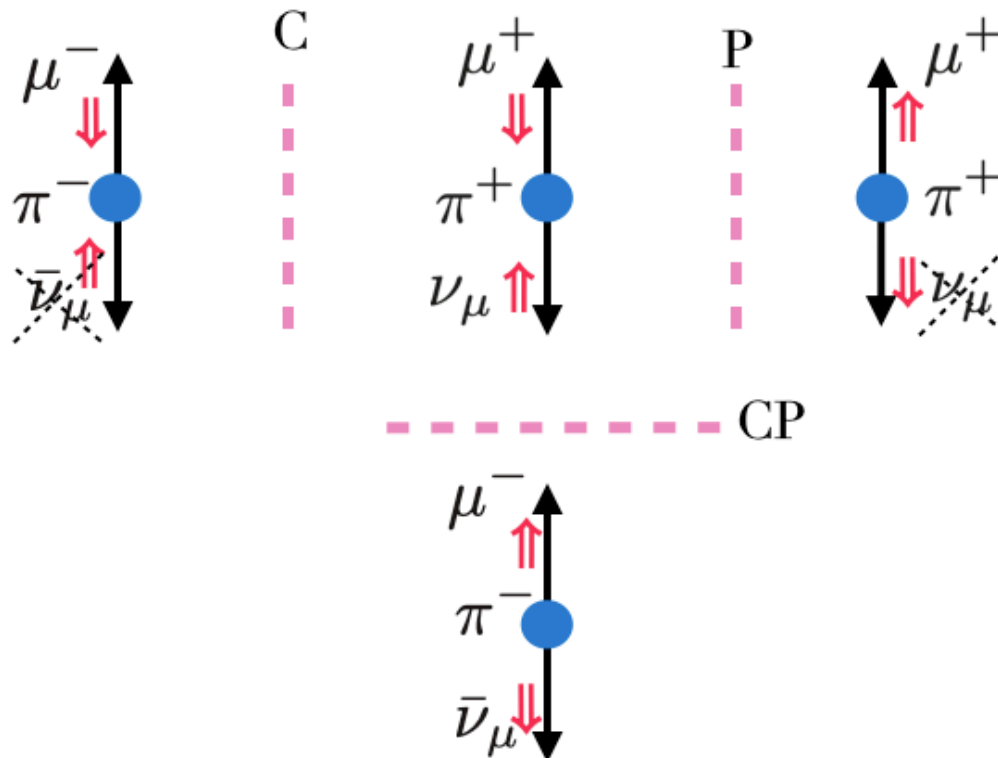
- dans la désintégration du pion + (de spin 0), le neutrino doit être gauche, donc le muon doit aussi être gauche
- si le muon + (antifermion) était de masse nulle, son hélicité devrait être +1, on ne retrouverait donc pas le spin 0 du pion
- la masse de l'électron étant 200 fois plus petite, ce mode de désintégration est défavorisé

$$R = \frac{BR(\pi \rightarrow e \nu)}{BR(\pi \rightarrow \mu \nu)} = \frac{m_e^2}{m_\mu^2} \frac{1}{(1 - m_\mu^2 / m_\pi^2)^2} = 1.28 \cdot 10^{-4}$$

7. Symétries C et CP

C : transformation d'inversion de charge $Q \rightarrow -Q$
 particule \rightarrow anti-particule
 (ne change pas l'hélicité)

CP : transformation C et P restore la symétrie pour l'I.f.



8. Les kaons neutres en question

$$K^0(498\text{MeV}) = d\bar{s}$$

$$\bar{K}^0(498\text{MeV}) = s\bar{d}$$

$$d\bar{s} \neq s\bar{d} \rightarrow K^0 \neq \bar{K}^0$$

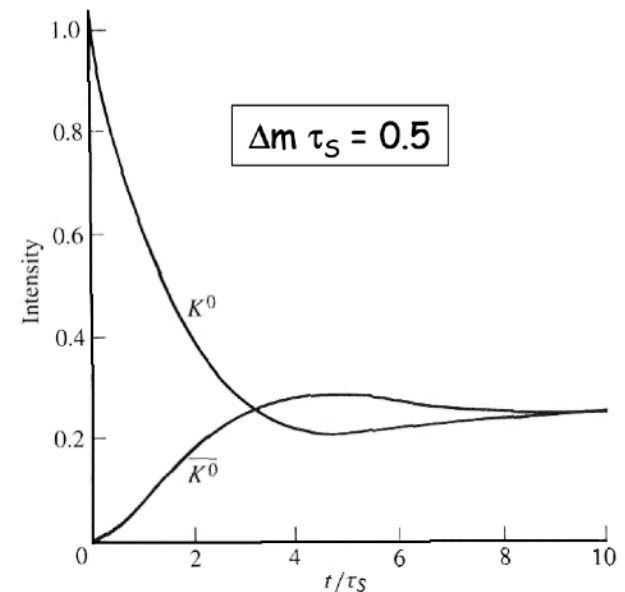
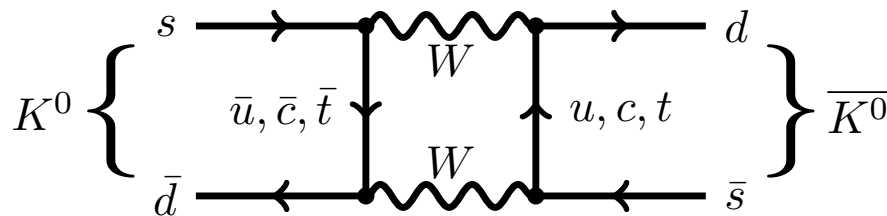
Ils sont différents mais se désintègrent de façon identique ($K^0 \rightarrow \pi^+\pi^-$)

et les pions ont les mêmes distributions d'impulsion

→ ce que l'on voit est un mélange des deux

or ils sont produits différemment

dans le vide les deux états se mélangent



Les kaons neutres en question

Effet de l'opérateur CP :

$$\begin{aligned} CP|K^0\rangle &= C(-|K^0\rangle) = -|\bar{K}^0\rangle \\ CP|\bar{K}^0\rangle &= C(-|\bar{K}^0\rangle) = -|K^0\rangle \end{aligned} \quad \text{pas états propres de CP}$$

Or ces états **le sont** :

$$\begin{aligned} |K_S^0\rangle &= \frac{1}{\sqrt{2}}(|K^0\rangle - |\bar{K}^0\rangle) & CP|K_S^0\rangle &= +|K_S^0\rangle \\ |K_L^0\rangle &= \frac{1}{\sqrt{2}}(|K^0\rangle + |\bar{K}^0\rangle) & CP|K_L^0\rangle &= -|K_L^0\rangle \end{aligned}$$

Regardons les désintégrations en 2 ou 3 pions :

$$CP|\pi^+\pi^-\rangle = +|\pi^+\pi^-\rangle \quad CP|\pi^+\pi^-\pi^0\rangle = -|\pi^+\pi^-\pi^0\rangle$$

Si on suppose l'interaction faible invariant sous l'action de CP on comprend que

$$K_S^0 \rightarrow \pi^+\pi^- \quad \tau = 0.86 \cdot 10^{-10} \text{ s}$$

$$K_L^0 \rightarrow \pi^+\pi^-\pi^0 \quad \tau = 5.3 \cdot 10^{-8} \text{ s} \quad \text{moins favorable cinématiquement}$$

Mais en 1964 on observe que la **symétrie CP est légèrement violée** :

$$BR(K_L^0 \rightarrow \pi^+\pi^-) = 2 \cdot 10^{-3}$$

Symétries discrètes P, C, CP et CPT

Symétrie	Int. Fortes	électro-magn.	Int. faible
P	✓	✓	×
C	✓	✓	×
T	✓	✓	(✓)
CP	✓	✓	(✓)
CPT	✓	✓	✓

symétrie ✓ conservée

(✓) légèrement violée

× violée

Pour aller plus loin (MA1/2)

Module thématique: Interactions fondamentales

- Théorie quantique des champs (QFT) – PHYS-F410, PHYS-F440
- Interactions fondamentales et particules- PHYS-F416
- Modèle Standard – PHYS-F422
- Physique des interactions fortes - PHYS-F477
- Aspects instrumentaux – PHYS-F420
- Aspects cosmologiques
 - Cosmologie – PHYS-F415
 - Théorie de la gravitation – PHYS-F432
 - Astroparticules – PHYS-F467